



Volume 12, Issue 5, September 2025, p. 175-197

Article Information

Article Type: Research Article

This article was checked by iThenticate.

Article History:

Received
02/08/2025
Received in revised
form
09/08/2025
Available online
15/09/2025

HYDROLOGICAL ANALYSIS OF THE BATRA VALLEY USING GEOGRAPHIC INFORMATION SYSTEMS (GIS)

Alaa Ibrahim Hussein Al-Mousawi ¹

Abstract

The research aims to study the hydrological analysis of the Al-Batra valley. Hydrological studies are important studies in arid and semi-arid regions that suffer from water scarcity. Therefore, this study came to show the hydrology of the region and the extent of its future benefit and the optimal use of what is available. This study relied on topographic maps using the geographic information system Arc GIS 10.3. A set of measured properties were processed through a set of mathematical models and processes to determine the hydrological properties. In addition to studying the natural factors affecting the valley, including geological characteristics, surface and climate, The total area of the valley is (4345.89 km²). The research also focused on studying surface and groundwater resources in terms of surface runoff volume and climatic water balance, In addition to studying groundwater in terms of its sources, nutrition, physical and chemical properties, and its suitability for human use, Including (drinking, irrigation, industry, construction and building).

Keywords: Analysis, hydrology, of the Batra people, using GIS

¹ Asst. Prof. Dr. University of Al-Qadisiyah / College of Arts / Department of Geography,
Alaa.ibrahim@qu.edu.iq.

التحليل الهيدرولوجي لشعب البترة باستعمال نظم المعلومات الجغرافية (GIS)

آلاء إبراهيم حسين الموسوي²

ملخص

يهدف البحث الى دراسة التحليل الهيدرولوجي لشعب البترة، اذ تعد الدراسات الهيدرولوجية من الدراسات المهمة في المناطق الجافة وشبه الجافة التي تعاني من شحة المياه، لذا جاءت هذه الدراسة لتبيّن هيدرولوجية المنطقة ومدى الاستفادة منها مستقبلاً واستعمال المتوفر منها بالطريقة المثلث، تم الاعتماد في هذه الدراسة على الخرائط الطبوغرافية باستعمال نظم المعلومات الجغرافية Arc GIS 10.3، اذ تم معالجة مجموعة من الخصائص المقاسة من خلال مجموعة من النماذج والعمليات الرياضية لتحديد الخصائص الهيدرولوجية، فضلاً عن دراسة العوامل الطبيعية المؤثرة في الشعب ومنها الخصائص الجيولوجية والسطح والمناخ، بلغت مساحة الشعب الكلية (4345.89 كم²). كما عنى البحث بدراسة الموارد المائية بنوعيها السطحية والجوفية من حيث حجم الجريان السطحي والموازنة المائية المناخية، فضلاً عن دراسة المياه الجوفية من حيث مكانتها وتغيراتها وخصائص مياهها الفيزيائية والكيميائية ومدى صلاحتها للاستعمال البشري، ومنها (الشرب والري والصناعة والبناء والإنشاءات).

الكلمات المفتاحية: التحليل، الهيدرولوجي ، لشعب البترة، باستعمال GIS.

مشكلة البحث Problem Research : تكمن مشكلة البحث بسؤالين كالتالي:

1. ما دور العوامل الطبيعية في تكوين شعيب البترة بجميع خصائصه الهيدرولوجية.
2. ما طبيعة المياه السطحية والجوفية في الشعب ومدى صلاحتها للاستعمال البشري.

فرض البحث Hypothesis Research : يمكن صياغة فروض البحث على النحو الآتي:

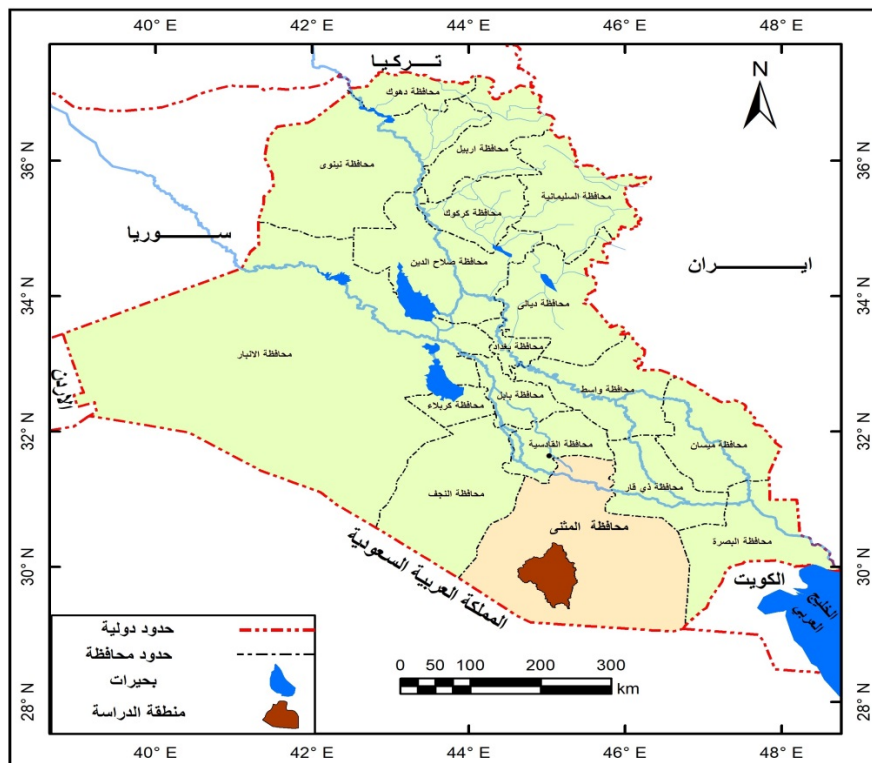
1. ان العوامل الطبيعية اثر في هيدرولوجية شعيب البترة.
2. ان لخصائص المياه السطحية والجوفية اهمية كبيرة في صلاحتها للاستعمال البشري.

منهج البحث Approach Research : اعتمد البحث على المنهج النظامي الذي يبين تحديد العوامل الجغرافية المؤثرة في هيدرولوجية شعيب البترة، فضلاً عن استعمال برنامج نظم المعلومات الجغرافية والعمليات الرياضية لأجل معرفة الخصائص الهيدرولوجية لمنطقة البحث.

حدود البحث Limits Research : تقع منطقة الدراسة والمتمثلة بشعيب البترة ضمن الجزء الجنوبي والجنوبي الغربي من الهمبة الغربية العراقية وادارياً تابع لناحية بصيبة التابعة لقضاء السلمان أحد اقضية محافظة المثنى. ومن الناحية الفلكية يقع الشعب بين دائرتى عرض (21°30' و 29°46') شمالاً، وخطي طول (35°44' و 37°45') شرقاً، ويحد هذا الشعب من الشمال شعيب الظهرة ومن الجنوب حوض ظهر الباطن ومن الشرق حوض الأمغر ومن الغرب وادي العقراوي. وينبع هذا الشعب من الأرضي السعودية، ويصب في منخفض الصليبات، يلحظ الخريطة (1)

² جامعة القادسية / كلية الآداب / قسم الجغرافية.

خريطة (1) الموقع الفلكي والجغرافي لشعيب البترة



المصدر: وزارة الموارد المائية، المديرية العامة للمساحة، قسم انتاج الخرائط، الوحدة الرقمية، خريطة العراق الإدارية، المقياس من 1:1000000، بغداد، 2015
- الخصائص الجيولوجية

وهي من العوامل الرئيسية المؤثرة في هيدرولوجيا منطقة البحث، لذا فان لعوامل البنية الصخرية ونظام بنية الطبقات والتراكيب الصخرية من فوائل وصدوع أثر في تكوين وتشكيل الخصائص الهيدرولوجية، يرتبط التاريخ التكتوني لمنطقة البحث بالتاريخ التكتوني للعراق الذي يقع بين الحوض الترسبي الألبي من الجهة الشمالية والشمالية الشرقية والدرع العربي الافريقي من الجهة الجنوبية والجنوبية الغربية اذ تفصل هاتان اللوحتان التكتونيتان منطقة الطيات التي تتميز بخط الفوالق⁽¹⁾.

1. المكافس الصخرية الرسوبيّة Rock Out Crop : توجد في منطقة البحث أربع تكوينات جيولوجية تتراوح اعمارها ما بين الأيوسين المتأخر والاعلى الى المايوسین المبكر والمتوسط - البلايوسین وتكون كالتالي:

أ. تربسات الزمن الثلاثي **Tertiary deposits**: تكشف في منطقة البحث التكوينات الصخرية الآتية:

1. تكوين الدبدبة Dibdiba formation : ينكشف هذا التكوين في منطقة البحث في الجزء الشمالي الشرقي والشمالي الغربي خريطة (2) ويشغل مساحة قدرها (219.68 كم²) وبنسبة (5.05%) من مساحة الشعيب الكلية، جدول (1)، ويرجع عمره الى المايوسین الأعلى- البلايوسین ويضم تتابعات الرواسب النهرية واغلبها رمال ذات طبيعة متعمدة وحصى مع الطين الرملي، وهذا التكوين يكون خاليا من الااحافير بصورة عامة⁽²⁾،

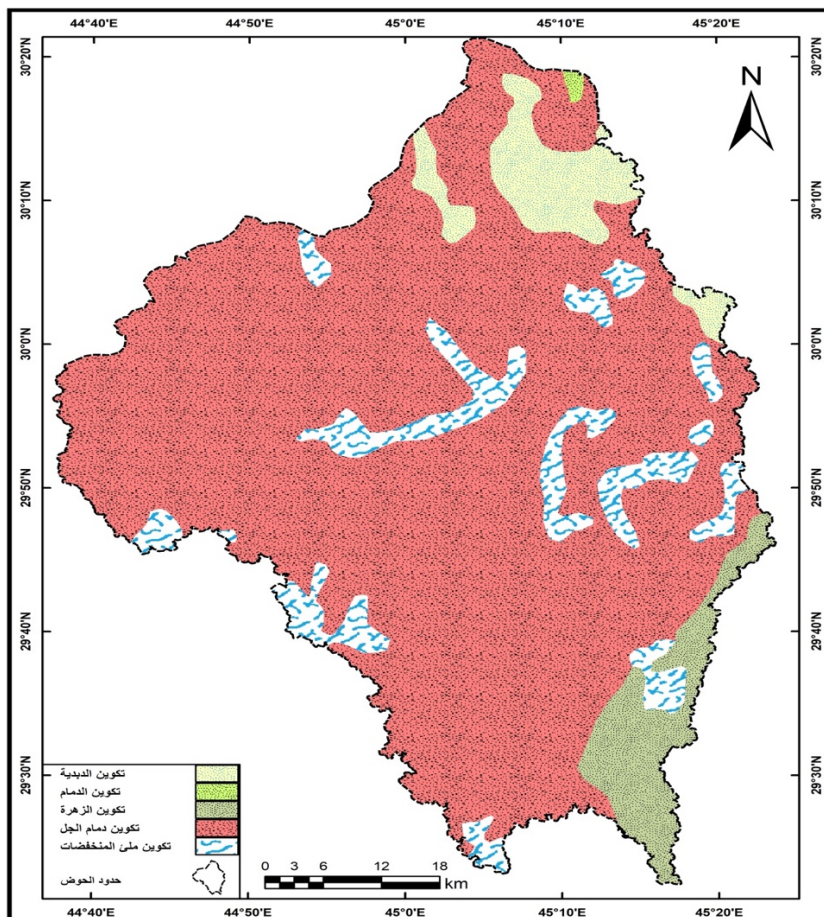
اما صخوره الاقدم فهو معدن الزاركون ذا النسبة الغالبة من المعادن الثقيلة. ومن صخور فاتاتية خشنة الى فاتاتية ناعمة متداخلة مع صخور جيرية.

2. تكوين الدمام: ويشغل معظم منطقة البحث وتشمل على تكوينين ثانويين هما الدمام والدمام الجل، يلحظ الخريطة (2) وتبلغ مساحته (3508.59 كم²) وبنسبة (80.74%) من مساحة الشعيب الكلية. اما مكوناته الصخرية فهي صخور جيرية طباشيرية دولومايتية ورواسب غرينية.

3. تكوين الزهرة **Zahra formation** : ينكشف في الجهات الغربية والجنوبية الغربية من منطقة البحث، يلحظ الخريطة (2)، ويشغل مساحة قدرها (220.33 كم²) وبنسبة (5.07%) من مساحة الشعيب الكلية، اما اهم مكوناته فهي حجر جيري وغرين ورواسب طفل وحجر رملي ناعم ومدملاك وكلس طفلي.

ب. تربات العصر الرياعي **Quaternary sedimentary** : تكوين ملأ المنخفضات: وتظهر هذه التربات في مناطق متفرقة من منطقة البحث كما يلحظ في الخريطة (2) وشغل مساحة قدرها (397.29 كم²) وبنسبة (9.14%) من مساحة الشعيب الكلية، واهم ترباتها هي الكثبان الرملية وغرين وطين وتراب مزيجية وتراب جبسية، وتعود نشأتها الى الهولوسين- العصر الحديث.

خريطة (2) جيولوجية شعيب البتة



المصدر: الباحثة اعتمادا على : 1. برنامج Arc GIS 10.3

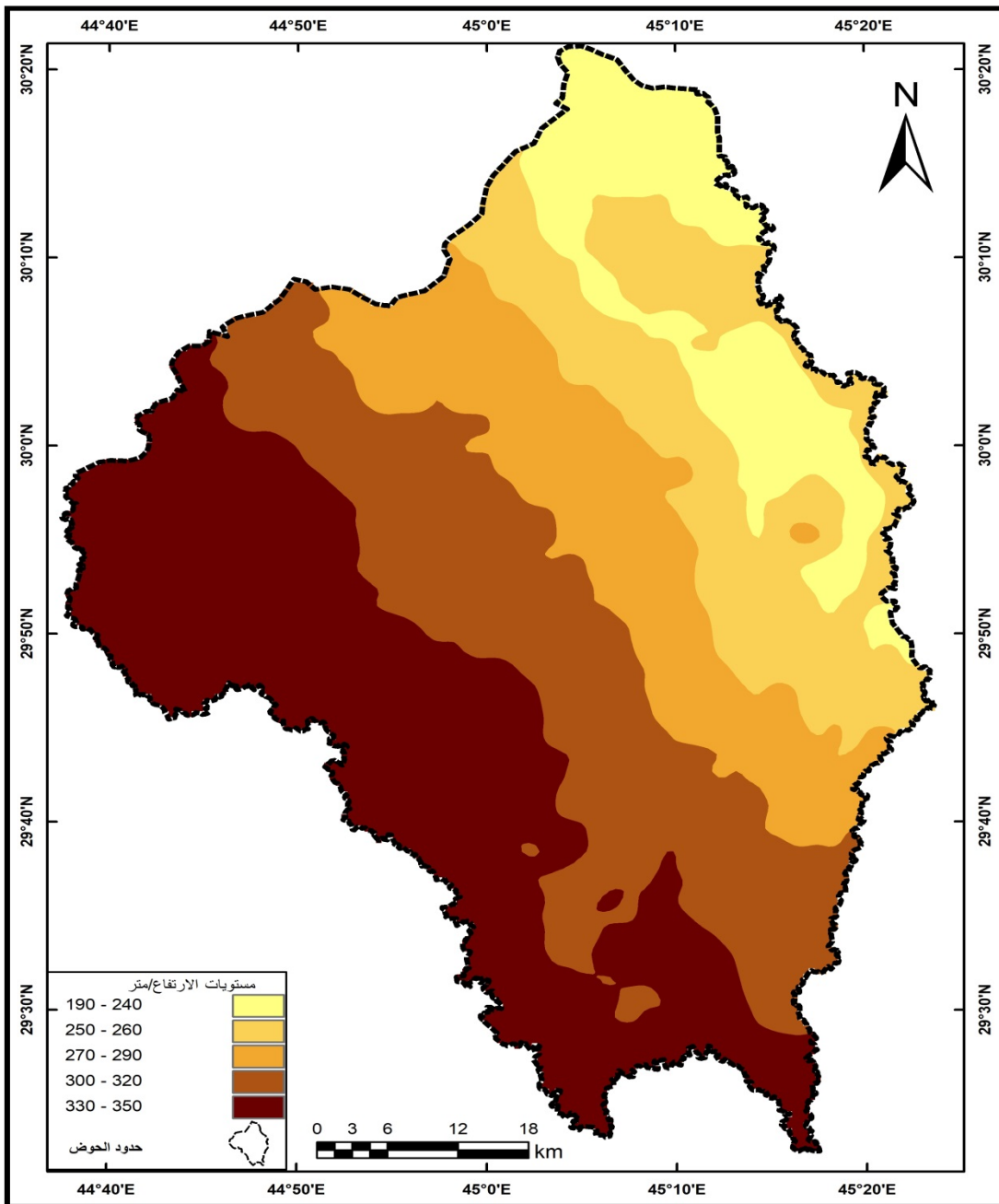
جدول (1) التكوينات الصخرية والرسوبية في شعيب البترة

المساحة كم ²	المكونات الصخرية	التكوين	العصر	الزمن
219.68	صخور فتاتية خشنة متعددة الألوان الى فتاتية ناعمة متداخلة مع صخور جيرية	الدببة	الميوسین الأعلى- البلايوسین	
6.21	صخور رسوبية طباشيرية ورواسب غرينية	الدمام	لاليوسین الأسفل المتأخر- الإيوسین الأعلى	
220.33	خر جيري، غرين، رواسب طفل، حجر رملي ناعم ومدملك كلس طفل	الزهرة	الميوسین المتوسط	
3502.38	صخور رسوبية طباشيرية، ورواسب غرينية	دمام الجل	لاليوسین الأسفل المتأخر- الإيوسین الأعلى	
397.29	كتبان رملية، غرين، طين، ترب مزيجية وترسبات جيسية	تكوين ملا المنخفضات (ترسبات حديثة)	الهولوسین	الرياعي

المصدر: الباحثة اعتماداً على: (1) عبد الله السياط وآخرون، جيولوجيا العراق، مطبعة جامعة الموصل، الموصل، 1988، ص 121-138. (2) برنامج Arc GIS10.3.

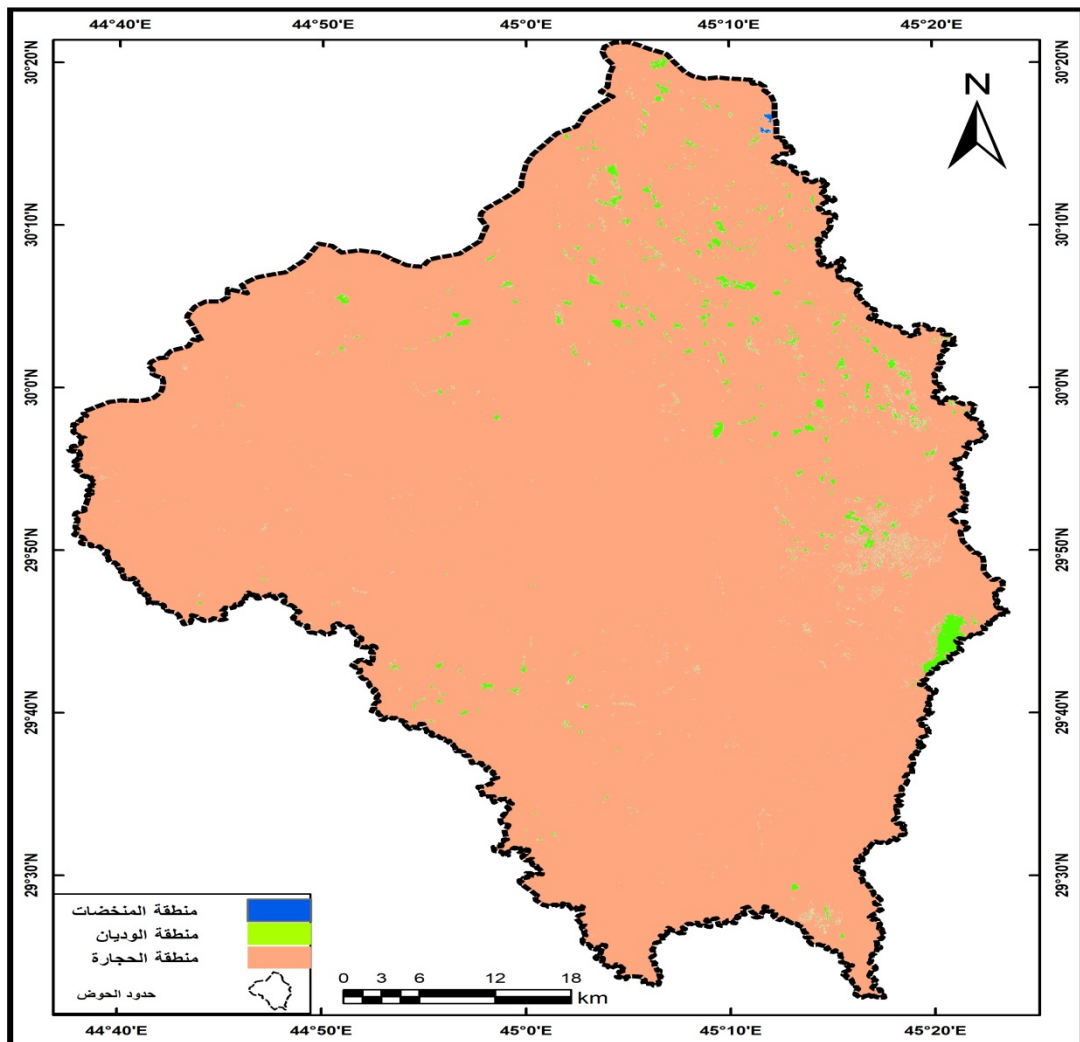
- **خصائص السطح** : ينحدر السطح تدريجياً من الشمال باتجاه السهل الرسوبي وان سبب التغيرات السطحية هي صورة من الوضع التكتوني الترکيبي والرسوبي، فضلاً عن المناخ، وتكون الارتفاعات متمثلة بالحافات والحرف الصخرية والموائد والشواهد الصخرية والهضاب والتلال ويبدا التدرج بالارتفاع من منخفض الصلبيات بارتفاع اقل من (30 م) شمالياً فوق مستوى سطح البحر ويزداد جنوباً ليصل الى (350 م) فوق مستوى سطح البحر عند منابع الحوض، لذا يكون فرق الارتفاع من بداية منطقة الدراسة الى نهايتها بمقدار (320 م)، خريطة (3)، كما تتحدر منطقة البحث تدريجياً بمقدار (0.06 م/كم)، وتقسم سطح المنطقة الى الأقسام الآتية، خريطة (4) وجدول (2).

خريطة (3) الارتفاعات المتساوية في شعيب البترة



المصدر: الباحثة اعتماداً على : (1) برنامج Arc GIS 10.3 (2) ملفات الارتفاع الأرضي Dem بدقة 30 م (سنة 2022).

خريطة (4) اقسام السطح في شعيب البترة



المصدر: الباحث اعتمد على : (1) برنامج Arc GIS 10.3 (2) الصور الفضائية للقمر الصناعي لاندستات بدقة (15 م) لسنة 2023

1. منطقة المنخفضات: وتقع في شمال منطقة الدراسة وهي ذات مساحة صغيرة مقارنة بمساحات الأقسام الأخرى من اقسام السطح، وتكون على شكل شبه المستدير وترجع في نشأتها الى عمليات تكتونية تعرضت لها المنطقة في أوائل الزمن الجيولوجي الثلاثي وأوائل الزمن الرباعي أدت الى رفع بعض المناطق دون الأخرى وبالتالي تكون المنخفضات⁽³⁾، واما انها تكونت من خلال عمليات التعرية الريحية مثل البري والتعرية المؤثرة نتيجة التباين الصخري مما جعلها تتفكك بسهولة الى رواسب بفعل التجوية، مما يجعل الرياح قادرة على حملها وزالتها لتكون الفيضانات، ثم تمتئ جزئيا بالرواسب التي تحملها المسيلات المائية، ومكوناتها تربات فيضية مزيجية من الرمل والحسى والاحجار الصغيرة والطين والغرين والصلصال وتكون ذات تربة جيدة صالحة للزراعة في موسم تساقط الامطار.

2. منطقة الوديان: تقع في الجهات الشمالية والشمالية الشرقية والشمالية الغربية والجنوبية الغربية من منطقة البحث وبصورة متتالية، وتغطي سطح هذه المنطقة بعض الرمال الخشنة والصخور الكلسية المسامية والحسبي.

3. منطقة الحجارة: وتشغل اغلب مساحة منطقة البحث وتتحدر أراضيها تدريجيا نحو الشمال الشرقي ويغطي سطحها الرمل والحسبي ذات اصل كوارتزى ومفتوحات نقلتها الرياح والوديان النهرية الفصلية.

الخصائص المناخية: تعد الخصائص المناخية من اهم الخصائص المؤثرة في تطور وتشكيل الاحواض النهرية، اذ تؤثر في معدلات التجوية والاحت والنقل والأرساب، فضلاً عن كميات التصريف المائي، وتطور وتغير القنوات النهرية من مراتب صغيرة الى مراتب اعلى، وهذه العمليات ترتبط ارتباطاً كبيراً بالمناخ من درجات الحرارة وتساقط مطري ورطوبة ورياح، مما ينتج عنها احواض نهرية متباعدة الاشكال والخصائص الهيدرومورفومترية.

1. درجات الحرارة: من تحليل الجدول (2) للاحظ ارتفاع درجات الحرارة في اشهر الصيف حزيران وتموز وآب وهي الأكثر حرارة في جميع محطات الدراسة الثلاث اذ تصل معدلاتها (38.75، 38.85، 36.8) م° على الترتيب لمحطة الناصرية و(35.65، 37.4، 37.4) م° على الترتيب لمحطة السماوة و(35.7، 37.3، 36.7) م° على الترتيب لمحطة السلمان. بينما تختفي درجات الحرارة شتاءً في الأشهر (كانون الأول و كانون الثاني وشباط) اذ بلغ المعدل (14.85، 13.55، 14.85) م° على الترتيب لمحطة الناصرية و(14.3، 12.75، 15.05) م° على الترتيب لمحطة السماوة و(15.1، 12.6، 14.3) م° على الترتيب لمحطة السلمان.

جدول (2) معدلات درجات الحرارة العظمى والصغرى الشهري (م°) لمحطات الناصرية والسماءة والسلمان للعام 2023

الأشهر	محطة السلمان			محطة السماوة			محطة الناصرية			الأشهر	
	درجات الحرارة (م°)			درجات الحرارة (م°)			درجات الحرارة (م°)				
	المعدل	العظمى	الصغرى	المعدل	العظمى	الصغرى	المعدل	العظمى	الصغرى		
2 ك	12.6	6.9	17	12.75	7	18.5	13.55	7.6	19.5		
شباط	15.1	8.9	20	15.05	8.7	21.4	15.85	9.6	22.1		
آذار	19.2	13.1	25	20.25	13.6	26.9	21.05	14.4	27.7		
نيسان	25.8	18.6	31.4	25.5	18.9	32.1	26.25	19.4	33.1		
مايس	31.6	24.1	37.8	31.95	24.7	39.2	32.65	25.3	40		
حزيران	35.7	26.7	41.8	35.65	27.6	43.7	36.8	28.8	44.8		
تموز	37.3	27.7	43.6	37.4	29.3	45.5	38.85	30.6	47.1		
آب	36.7	25.8	43.4	37.4	28.8	46	38.75	30.1	47.4		
أيلول	33.9	19.9	41.5	33.75	25.2	42.3	35.7	26.9	44.5		

27.8	25.8	34.6	27.95	20.5	35.4	29.3	21.6	37	ت 1
20	12.8	25.6	19.2	13.3	25.1	20.15	13.8	26.5	ت 2
14.3	8.6	19	14.3	8.7	19.9	14.85	9.1	20.6	ك 1
25.8	17.4	31.7	25.9		33	27	19.8	34.2	المعدل

المصدر: الهيئة العامة لأنواع الجوية العراقية، بيانات غير منشورة، 2023.

2. الرياح: من الجدول (3) تظهر المعدلات الشهرية لسرعة الرياح اذ سجلت سرعة قدرها (3.8، 3.3، 3.0) م/ث على الترتيب في محطات منطقة البحث.

جدول (3) المعدلات الشهرية لسرع الرياح لمحطات الناصرية والسماءة والسلمان

الأشهر	محطة الناصرية م/ثا	محطة السماءة م/ثا	محطة السلمان م/ثا
2 ك	3	2.7	4
شباط	3.4	3.1	4.3
آذار	3.8	3.5	4.5
نيسان	4	3.6	4.5
مايس	4.1	3.7	4.6
حزيران	5.1	4.1	4.8
تموز	5.1	4	4.9
آب	4.4	3.4	4.8
أيلول	3.8	3.1	4.8
تشرين الأول	3	2.8	4.3
تشرين الثاني	2.8	2.5	4.2
يناير	2.8	2.6	3.8
المعدل	3.8	3.3	4.4

المصدر: الهيئة العامة لأنواع الجوية العراقية، بيانات غير منشورة، 2023.

3. التساقط المطري: من المصادر الرئيسية لتغذية الأحواض النهرية السطحية والجوفية هو التساقط المطري والتي تجري في موسم الامطار وتكون متذبذبة وغير منتظمة، ومن الجدول (4) نلحظ بان التساقط المطري يبدأ من شهر تشرين الأول وتشرين الثاني وكانون الأول وكانون الثاني وشباط وآذار ونيسان ومايس وكانت معدلاتها (6.8، 13، 20.6، 5.2، 20.9، 21.2، 20.2، 15.2، 19.4، 15، 14.3، 11.4، 17، 22، 14.8، 10، 7، 2) ملم على الترتيب لمحطة الناصرية. و(4.3، 4.0، 4.2، 4.0، 3.8، 3.5، 3.3، 3.0، 2.8، 2.5، 2.3، 2.1، 1.9، 1.7، 1.5، 1.3، 1.1، 0.9) ملم على الترتيب في محطة السماءة و(1، 1.3، 1.5، 1.8، 2.0، 2.2، 2.5، 2.8، 3.0، 3.2، 3.4، 3.6، 3.8، 4.0، 4.2، 4.4) ملم على الترتيب في محطة السلمان.

4. الرطوبة النسبية: هي النسبة المئوية بين بخار الماء الموجود فعلاً في حجم معين من الهواء وبين مقدار ما يحمله الحجم نفسه من الهواء ليصل الى درجة التشبع في نفس درجة الضغط⁽⁴⁾. وللرطوبة النسبية أهمية كبيرة

لأنها عنصرا مهما في العمليات الهيدرولوجية نلحظ من الجدول (5) ان محطة الناصرية سجلت اعلى نسبة للرطوبة النسبية للأشهر (تشرين الأول وتشرين الثاني وكانون الأول وكانون الثاني وشباط) اذ بلغت (36.8%，%53.7，%56.1،%64.2)، على الترتيب، وسجلت ادنى مستويتها في هذه المحطة اذ بلغت نسبتها الأشهر (حزيران وتموز وآب) (%21.8،%20،%21.5) على الترتيب، وسجلت محطة السماوة اعلى نسبة الرطوبة للأشهر (تشرين الأول وتشرين الثاني وكانون الأول وكانون الثاني وشباط) بنسب بلغت (36.6%，%52.7،%61.7،%64.4)، على الترتيب، وسجلت ادنى مستوياتها في الأشهر (حزيران وتموز وآب)، اذ بلغت (%22.5،%22.1،%23.1) على الترتيب.

جدول (4) المعدلات الشهرية للأمطار (ملم) لمحطات الناصرية والسماوة والسلمان لسنة 2023

محطة السلمان	محطة السماوة	محطة الناصرية	الأشهر
15	22	21.2	ك2
10	14.3	15	شباط
18	17	19.4	آذار
7	11.4	15.2	نيسان
2	4.3	3.2	مايس
0.7	-	-	حزيران
-	-	-	تموز
-	-	-	آب
-	-	0.3	أيلول
1	5.2	6.8	1ت
13	20.6	20.9	2ت
14	14.8	20.2	1ك
70.7	109.6	122.2	المجموع
5.89	19.13	10.18	المعدل

المصدر : الهيئة العامة لأنواع الجو في العراقية، بيانات غير منشورة، 2023.

جدول (5) معدلات الرطوبة الشهرية لمحطات الناصرية والسماوة والسلمان لسنة 2023

محطة السلمان	محطة السماوة	محطة الناصرية	الأشهر
67.7	64.4	66.1	ك2
57.1	55.1	57	شباط
49.3	46	46.7	آذار
39.2	37	39.9	نيسان
29.2	27.2	28.8	مايس

25.6	22.5	21.5	حزيران
21	22.1	20	تموز
22.6	23.1	21.8	آب
26.1	27	25.9	أيلول
31.8	36.6	36.8	تشرين الأول
53.1	52.7	53.7	تشرين الثاني
66.2	61.7	64.2	كانون الأول
40.7	39.7	40.2	المعدل

المصدر: الهيئة العامة للأنواء الجوية العراقية، بيانات غير منشورة، 2023.

في حين سجلت أعلى نسبها في محطة السلمان في الأشهر (تشرين الأول وتشرين الثاني وكانون الأول وكانون الثاني وشباط) اذ بلغت (57.1%， 67.7%， 66.2%， 53.1%， 31.8%) على الترتيب، وكانت أدنى نسبتها في الأشهر (حزيران وتموز وآب) اذ بلغت (22.6%， 25.6%， 21%) على الترتيب. يمكن التمييز بين كمية الرطوبة في الهواء من خلال المعيار الذي يبين الرطوبة النسبية اذا كانت اقل من (50%) يعتبر الهواء جافا، واذا كانت النسبة تتراوح بين (60%-70%) فان الهواء متوسط الرطوبة، في ما اذا كانت النسبة اكتر من (70%) يعد الهواء رطبًا، ومن خلال المعطيات المناخية الخاصة بالرطوبة النسبية في محطات منطقة الدراسة (الناصرية والسماءة والسلمان) والتي كانت (39.7% - 40.7%) تؤكد بان منطقة البحث تقع ضمن المنطقة الجافة، اما على المستوى اليومي فنلحظ وجود تباين في قيم الرطوبة تبعاً لليوم الواحد مع التأثير للتغيرات في درجة الحرارة اليومية.

5. التبخر Evaporation: يلاحظ من الجدول (6) يلحوظ ان المجموع السنوي للتبخر في منطقة البحث بلغ (3285.1، 3375.6، 3498.9) ملم على الترتيب في محطات الناصرية والسماءة والسلمان، وعند المقارنة بين تلك المحطات يلاحظ ارتفاع معدلات التبخر الشهرية في الأشهر المنخفضة الحرارة في جميع المحطات وهذا الارتفاع في معدلات التبخر في تلك الأشهر من السنة جاء من ارتفاع درجات الحرارة في فصل الشتاء، فضلاً عن التفاوت النسبي في معدلات الرطوبة وسرع الرياح، مما يلحوظ تفوق مجموع التبخر على مجموع الامطار في المحطات نفسها، وهذا يدل على ان مناخ منطقة الدراسة جافا حسب معادلة الجفاف لديمارتون.

جدول (6) المعدلات الشهرية للتبخر (ملم) في محطات الناصرية والسماءة والسلمان لسنة 2009

الأشهر	محطة الناصرية	محطة السماءة	محطة السلمان
كانون الثاني	72.8	87.65	73
شباط	104.9	118.65	111.9
آذار	161.2	201.66	167.6
نيسان	257.1	278.6	258.6

378.8	382.27	373.2	مايس
495.6	472	455.8	حزيران
521.8	511.38	496	تموز
505.5	478.7	470.9	آب
441.1	369	408	أيلول
299.3	259.6	274.7	1 ت
163	130	131.9	2 ت
82.6	86.1	78.6	1 ك
3498.9	3375.6	3285.1	المجموع

المصدر: الهيئة العامة لأنواع الجوية العراقية، قسم المناخ ، بيانات غير منشورة، 2023.

التي تبين معامل الجفاف (كفاية الامطار)، اذ يكون المناخ جافاً اذا كانت نتائج المعادلة اقل من (5) وшибه جاف اذا كانت النتائج (9.9-5) ورطب نسبياً بمعامل قدره (20 -29.9)، ومناخ رطب بمعامل اكثراً من (30)، وحسب نتائج الجدول (7) لمعامل الجفاف (كفاية الامطار) لمحطات منطقة الدراسة ظهرت بان المنطقة جافة اذ أظهرت محطة الناصرية معامل جفاف قدره (3.30)، ومحطة السماوة (3.05) ومحطة السلمان (2)، مما يعكس إيجاباً على عمليات التعرية الريحية بسبب ارتفاع قيم التبخر على حساب كميات الامطار مع القيمة الفعلية لها مما انعكس سلباً على كثافة الغطاء النباتي مما يؤثر في تكوين تربة جافة وقليلة التماسك مما جعلها بيئة مناسبة للتعرية الريحية.

جدول (7) نتائج معادلة دي مارتون لمعامل الجفاف (*) (كفاية الامطار) لمحطات منطقة الدراسة

نوع المناخ	كفاية الامطار المتتساقطة	معدل الحرارة السنوي (° م)	مجموع الامطار السنوي (ملم)	المحطة
جاف	3.30	27	122.2	الناصرية
جاف	3.05	25.9	109.6	السماوة
جاف	2	25.8	70.7	السلمان

المصدر: الباحثة اعتماداً على بيانات الجدولين (2,4).

(*) معادلة دي مارتون (كفاية الامطار) : $I = R / (T + 10)$ حيث ان I = معامل الجفاف، R = مجموع التساقط المطري السنوي (ملم)، T = معدل درجة الحرارة السنوي (5 م*) ينظر: علي صاحب طالب الموسوي وعبد الحسن مدفون أبو رحيل، علم المناخ التطبيقي، دار الضياء للطباعة، النجف الاشرف، 2011، ص 90.

الموارد المائية: تقسم الموارد المائية في منطقة الدراسة الى قسمين هما: (الموارد المائية السطحية Surface

والموارد المائية الجوفية Ground water

أولاً: الموارد المائية السطحية Surface water

1. حجم الجريان السطحي: تعد مياه الامطار المصدر الرئيس للمياه السطحية في منطقة الدراسة اذ يبدأ التساقط المطري في بداية شهر تشرين الأول حتى نهاية شهر مايس، فضلا عن تباينها الزمانى والمكاني الى جانب فقدان كميات كبيرة منها بسبب التبخر او تسربها نتيجة للفاذية العالية للترابة، ويكون هذا التساقط بشكل غزير وفجائي ولفترات قصيرة مما ينتج عنه كميات كبيرة من المياه تملئ الوديان (الشعبان) والمجاري الصغيرة التي حفرتها المياه السطحية وكانت شبكة من المجاري تغذي منطقة الدراسة، كما وتتجمع هذه المياه في المنخفضات والفيضانات المنتشرة بكثرة في المنطقة اذ تصب فيها الاودية والتفرعات المرتبطة بها مكونة احواضا مائيا تخزن كميات كبيرة من مياه الامطار. واعتمد البحث على معادلة بيركلي Barkely في تحديد حجم الإيرادات المائية في منطقة الدراسة والتي تعتمد على متغيري المناخ والتضاريس⁽⁵⁾ وبالطريقة الآتية⁽⁶⁾:

$$R = (W / L)^{0.45}$$

حيث ان :

R = حجم الجريان السنوي مليار / م³.

C = معامل ثابت في الصحراء قدره (0.10).

I = حجم الامطار (مليار / م³).

S = معدل الانحدار (م / كم).

W = معدل عرض المجرى (م).

L = طول الوادي (كم).

وعند تطبيق المعادلة لمعرفة الجريان السطحي المتوقع لمنطقة الدراسة، وكما موضح في الجدول (8)،
وقد ات حجم الإيرادات المائية في منطقة الدراسة بلغت (0.033 مليار م³)، ان لمعرفة حجم الجريان السنوي المتوقع فائدة لمعرفة عمليات الحث والانجراف والتربيس للمياه الجارية وتأثيرها في تشكيل مظاهر السطح، فضلا عن أهميتها الاقتصادية، وان حجم المطر يتقاسم الجريان السطحي والمياه الجوفية، ولو اخذنا معدل مجموع الامطار (481) مليون / م³ والجريان السطحي هو (0.033 مليار / م³)، فان تغذية المياه الجوفية لمنطقة الدراسة بلغت (0.448 مليار / م³) كما يلحظ من الجدول (9). وان حجم المطر يتقاسم الجريان السطحي وتغذية المياه الجوفية، وبما ان كمية الضائعات المائية هي (80%) فأنها تطرح من مجموع حجم الامطار والبالغة (0.481 مليار م³)، فالكمية المتبقية يتقاسمها الجريان السطحي والمياه الجوفية، وبما ان مجموع الامطار (0.481 مليار م³)، وحجم الجريان السطحي (0.033 مليار م³)، وتغذية المياه الجوفية (0.448 مليار م³) كما يلحظ في الجدول (9).

جدول (8) حجم الجريان السطحي المتوقع لشعيب البترة

المساحة (كم²)	طول الشعيب (كم)	عرض الشعيب (كم)	معدل المطر السنوي (ملم)	معدل الانحدار (م/كم)	حجم المطر مiliar م³	العرض/ الطول	حجم الجريان السنوي المتوقع مليار م³
4345.89	110	39.50	110.8	0.06	0.481	0.35	0.033

المصدر: الباحثة اعتماداً على الخرائط الطوبوغرافية مقاييس 1: 100000 وبيانات الجدول (4)

جدول (9) حجم المياه المتسرية في شعيب البترة

حجم الامطار مليار م³	الجريان السطحي	تغذية المياه الجوفية مليار م³
0.481	0.033	0.448

المصدر: بيانات جدول (8)

الموازنة المائية المناخية : Water Balance

جرى احتساب الموازنة المائية المناخية لمنطقة الدراسة بالاعتماد على محطة السلمان، اذ أجريت عملية

احتسابها وفقاً للخطوات الآتية:

أ. احتساب قيمة التبخر/ النتح: بواسطة معادلة ايفانوف⁽⁷⁾: $E = 0.0018(t + 25)^2(100 - a)$ (اينون)⁽⁷⁾ :
اذ ان :

E = التبخر / النتح الكلي الشهري (ملم)

t = متوسط درجة الحرارة الشهري (م°)

a = متوسط الرطوبة النسبية الشهري (%)

ب. احتساب قيمة التبخر/ النتح الممكن: اذ استعملت معادلة ثورنثويت لاستخراج قيمة التبخر / النتح الممكن⁽⁸⁾:

$$PE = 16 * \left(\frac{10T}{I}\right)^a \quad \text{اذ ان :}$$

PE = التبخر / النتح الممكن الشهري (ملم).

T = متوسط درجة الحرارة الشهري (م°).

I = قيمة ثابتة تحسب جدولياً بدلالة درجة الحرارة.

a = قيمة ثابتة تحسب جدولياً بدلالة (I).

وبعد احتساب قيمة (PE) تصح استعمال المعادلة الآتية⁽⁹⁾: $PEC = PE * N$ حيث ان:
 PEC = التبخر / النتح الممكن الشهري المصحح.

PE = معامل تصحيح يعتمد على الشهر وموقع المحطة من دوائر العرض.

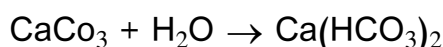
ج. استخراج قيمة التبخر/ النتح المتبقى: ويتم احتسابها كالتالي⁽¹⁰⁾: اذا كانت الامطار اكبر من النتح/ التبخر الممكن ($P > PEC$) فالتبخر الحقيقي يساوي الممكن = $(AE = PE)$ ، اما اذا كانت الامطار اقل من التبخر/

التبخر/ النتح الممکن ($PE > P$) فالتبخر/ النتح الحقيقی یساوی الفرق بین التبخر/ النتح الكلی (ایفانوف) والتبخر/ النتح الممکن (PEC).

د. احتساب الموازنۃ المائیة: أي الفائض المائي (WS) والعجز المائي (WD) لمنطقة الدراسة⁽¹¹⁾: اذا كانت قيمة PEC/P موجبة يشير الى ان الامطار اکبر من التبخر/ النتح الممکن اذ تكون التربة مشبعة وناتج الفرق بینهما یعد فائضا مائیا (WS), اما اذا كان التبخر/ النتح الممکن اکبر من الامطار وبهذا تكون التربة قد فقدت رطوبتها وناتج الفرق بین التبخر/ النتح الحقيقی (AE) والامطار يمثل قيمة العجز المائي (WD). ومن خلال تطبيق كافة الخطوات السابقة على بيانات محطة السلمان ظهر ان هناك فائضا مائیا في شهري كانون الأول وكانون الثاني اذ بلغ مجموع الفائض المائي لها (10.232 ملم) وتشكل هذه الزيادة نسبة (14.4%) لمجموع الامطار المتساقطة لمحطة السلمان، الجدول (10).

ثانياً: الموارد المائية الجوفية Ground water

هي المياه التي توجد تحت سطح الأرض، وهي مصدر مياه الآبار والعديد من الينابيع. وتتوفر المياه الجوفية المياه العذبة في العديد من مناطق العالم وتتجمع هذه المياه بصورة رئيسة من الامطار التي تترشح عبر التربة، كما تتجمع من المياه التي تتسرب إلى باطن الأرض من البحيرات والبرك وتستقر في المسامات والشقوق بين الصخور في باطن الأرض وفي الفراغات بين ذرات الرمال وقطع الحصى وتسمى طبقة او قاعدة مثل هذه المواد المسامية التي تنتج مقادير كبيرة من المياه الجوفية الطبقة الصخرية المائية⁽¹²⁾. تعمل المياه الجوفية كعامل جيومورفولوجي مهم، اذ ان حجر الكلس يذوب في الماء الذي يحتوي على نسبة قليلة من حامض الكاربونيك وتعمل مياه الامطار على اذابة CO_2 بسهولة في الهواء ومن بقايا النباتات المتفسخة، وعند اتصال المياه الجوفية بحجر الكلس يتفاعل حامض الكاربونيك في الصخور لتشكل بيكاربونات الكالسيوم القابلة للذوبان وبحسب المعادلة الآتية⁽¹³⁾:



جدول (10) الموازنة المائية لمحطة السلمان

الأشهر	الحرارة (°C)	الامطار (ملم)	قيمة A	الرطوبة النسبية	التبخر/ النتح الكلي ايقانوف (ملم)	n	التبخر/ النتح الممكн تورنتوت (PEC) (ملم)	P- PEC	التبخر / النتح الحقيقى (ملم) AE	العجز المائي (wb)	نفاذ الماء المائي (ملم) WS
يناير	12.6	15	4.05	67.7	82.1960064	0.90	7.291753656	7.708246344	7.91753656	7.708246344	7.708246344
شباط	15.1	10	5.33	57.1	124.1705322	0.87	13.92346764	3.923467640-	110.24706456	100.24706456	100.24706456
آذار	19.2	8	7.66	49.3	178.2891846	1.03	40.68450199	32.68450199-	137.60468261	129.60468261	129.60468261
نيسان	25.8	7	11.99	39.2	282.4252416	1.08	129.6048722	122.6048722-	152.8203694	145.8203694	145.8203694
مايوس	31.6	2	16.30	29.1	408.8383272	1.17	303.5994521	301.5994521-	105.2388199	103.2388199	103.2388199
حزيران	35.7	0.7	19.61	25.6	493.4269008	1.18	476.2849746	475.5849746-	17.1419262	16.4419262	16.4419262
تموز	37.3	-	20.95	21	551.919438	1.20	576.0683577	564.5369578-	24.1489197	24.1489197	24.1489197
آب	36.7	-	20.44	22.6	350.3759148	1.14	514.8844518	514.8844518-	164.508537	116.3193309	116.3193309
أيلول	33.9	-	18.13	26.1	461.4743142	1.03	345.1549833	345.1549833-	185.5044753	186.5044753	186.5044753
تشرين الأول	27.8	1	13.42	31.8	342.2352384	0.98	155.7307631	154.307631-	166.96222147	129.96222147	129.96222147
تشرين الثاني	20	13	8.15	53.1	170.9505	0.89	40.98827853	27.9882753-	11.47618043	2.52381957	2.52381957
مجموع	-	70.7	-							10.2320	

المصدر: بيانات الجداول (2، 4، 5، 6) حيث ان : $A = 3.761$ و $I = 105.99$

لذا تتواجد المياه الجوفية في تربات كarbonatية والتي تكون صخور الخزانات اذ تكثر الكهوف والشقفات.

1. مكامن المياه الجوفية Ground Water Aquifers

تشكل التكوينات الجيولوجية الموجودة في منطقة الدراسة والمتمثلة بتكونيات الدمام ودمام الجل والغار مكامن للمياه الجوفية وهذه التكوينات تزود غالبية الآبار بالمياه، اما التربات الاحدث الممثلة بتكونين الزهرة وترسبات العصر الرياعي فلم تشكل تكوينات مهمة لمحوية انتشارها، وقلة سمكها مقارنة بالتكوينات الأخرى السابقة الذكر، ويكون التابع الصخري لهذين المكونين من تتابع طبقات من احجار الكلس والدولومايت وصخور الانهيدرايت، وقد تأثرت هذه الطبقات كثيرا بالفالق والفاصل فضلا عن الشقوق. ويكون المكون المائي على نوعين هما:

أ. المكون المائي الحر او غير المقيد **Unconfined Aquifer**: يحد هذا الخزان من الأسفل طبقة صماء، ويكون من الأعلى متصلة اتصالاً مباشراً بالضغط الجوي اذ يحده المستوى المائي الأرضي وتتصل اتصالاً وثيقاً بسطح الأرض اذ تتأثر بمياه الامطار والري.

ب. المكون المائي المحصور او المقيد **Confined Aquifer**: يحد الطبقات السفلية والعليا الحاملة للمياه طبقات صماء كثيمة غير منفذة للمياه وتكون المياه تحت ضغط كبير وبهذا تكون معزولة عن المياه السطحية وبعيدة جداً ويكون الضغط البيرومترى لهذه الطبقات اعلى من سطح الأرض والآبار لمحفورة في هذه الخزانات تسمى آبار ارتوازية.

2. تغذية المياه الجوفية: عندما تتشعب التربة بالمياه، تتغلغل المياه خلال مقطع التربة لتصل إلى مناسبات المياه الجوفية بصورة طبيعية أو اصطناعية، ويعتمد ذلك على كمية التساقط المطري، فضلاً عن عمق المياه الجوفية ورطوبة التربة ونوعيتها. إن مصدر تغذية المياه الجوفية في منطقة الدراسة هي الأمطار بصورة رئيسة، فعند تساقطها تقسم إلى قسمين الأول يكون جرياناً سطحياً والثاني يتربّح إلى داخل التربة خاصة الرملية السائدة في منطقة الدراسة، أما بالنسبة للأنهار الواقية والفيضانات والخربات المعتمدة أساساً على الأمطار فترتّب المياه الجوفية بكميات قليلة من المياه المغذية لها.

3. الخصائص الفيزيائية والكيميائية للمياه الجوفية: تشمل المياه الجوفية في منطقة العيون والآبار وقد أخذت مجموعة من العينات تشمل (9 آبار) درست خصائصها الفيزيائية والكيميائية وهي كالتالي:

أ. الأُس الهيدروجيني (PH): يعبر الأُس الهيدروجيني عن نشاط أيون الهيدروجين في الماء وهو مقياس القاعدية والحامضية وتترواح بين (0 - 14)، إذ ان الأرقام الأقل من (7) تشير إلى حامضية الماء والعدد الأكثر من (7) إلى قاعدته والرقم (7) هو للمياه المتعادلة وهي الدرجة المئالية للمياه العذبة، وبهذا تبقى المياه صالحة للاستعمال اذا زادت او نقصت قليلاً من الرقم (7). ويلاحظ من الجدول (11) ان قيمة (PH) في منطقة الدراسة تراوحت ما بين (7.44 - 7.95) مما يدل على قاعدية المياه ويرجع سبب ذلك إلى وجود مركبات الكاريونات والبيكاربونات المسؤولة عن قيم (PH) في المياه الطبيعية وحسب القياسات العالمية والعراقية فإن مياه هذه الآبار صالحة للاستعمال البشري.

ب. التوصيلية الكهربائية (EC): هي قابلية الماء على توصيل او حمل التيار الكهربائي وتعتمد على نوعية وتركيز وتكافؤ العناصر الذائبة في الماء ودرجة حرارته، وتقاس بالمايكروموز / سم وهي موصولة (1 Cm³) في الماء عند درجة حرارة (25 m°⁽¹⁴⁾)، ويوضح الجدول (11) قيم (EC) لآبار منطقة الدراسة وتراوحت في الماء -5201 (6614) مايكروموز / سم.

جدول (11) التحليل الفيزيائي والكيميائي لعينات مياه الآبار لشعب البترة

الآبار	PH	EC	Mg/cm	T.D.S.	Mg/L	T.H.	Mg/L	Ca Mg/L	Mg MG/ Mg/L	So ₄ Mg/L	CL Mg/L
1	7.46	521		2621	1826.02	421	187.3	1622	602		
2	7.73	5721		2932	1933.1	433	205	1634	632		
3	7.85	6213		3151	2195.3	463	254	1721	710		
4	7.63	6311		3210	2542.4	571	273	1770	772		
5	7.94	6614		3352	2748.6	612	294	2074	864		
6	7.95	5922		2621	2102.1	484	217	1710	733		
7	7.82	5832		2621	1948.77	465	191.7	1683	722		
8	7.44	5211		2700	1573.44	322	188.15	1624	601		

753	1675	96.77	484	1621.70	2722	6311	7.45	9
-----	------	-------	-----	---------	------	------	------	---

المصدر: أجريت التحاليل بالاعتماد على : وحدة أبحاث البيئة والوقاية من التلوث، كلية العلوم، جامعة القادسية، 2024.

ت. مجموع المواد الصلبة (T.D.S.) : هي مجموع المواد الصلبة الذائبة في الماء ذوباناً حقيقة بحيث تبقى مع الماء في عمليات الترشيح ولا تشمل المواد العالقة والغازات الذائبة وتقاس بوحدات ppm التي تعادل L mg/L، ويلاحظ من الجدول (11) ان قيمة (T.D.S) الموجودة في عينات مياه الآبار تراوحت بين (3352 - 2621) L mg/L، ويعود التركيز الكلي للمواد الذائبة في الماء عادةً مهماً في فهم خصائص الماء وتحديد استعمالاته ونوعية المعالجة المطلوبة، فضلاً عن الآثار السلبية لزيادة تركيزه في المياه مما يجعلها غير صالحة للاستعمال البشري، ويعود سبب ذلك إلى انخفاض قيمة التغذية وكذلك الاذابة التي تتعرض لها الصخور الرسوبيّة المكونة للخزان الجوفي.

ث. العسرة الكلية (T.H.) : وهي مجموعة أيونات المغنيسيوم والكالسيوم الموجودة في الماء ويعبر عنها بالغرام لكل لتر من المكافئ إلى كاربونات الكالسيوم⁽¹⁵⁾، وحسب الجدول (11) بلغت قيمة (T.H.) في عينات مياه الآبار في منطقة الدراسة ما بين (2748.6 - 1573.44) Mg/L مما يدل على ارتفاع هذه القيمة بسبب الحجر الجيري الذي له القابلية على الذوبان في المياه، فضلاً عن ارتفاع قيم الكالسيوم والمغنيسيوم والكبريتات في هذه الآبار.

ج. الكالسيوم Ca^{++} : واهم مصادر صخور الانهيدرات والدولومايت والكالسيت اذ تحتوي هذه الصخور على تراكيز عالية من الكالسيوم ذي القابلية العالية على الذوبان بالماء، وتراوحت قيمته في العينات ما بين (322 - 612) Mg/L ويدل ذلك على التركيز العالي لهذا الأيون بسبب طبيعة المنطقة الجيولوجية مما يجعله غير صالح للشرب حسب المعايير العالمية والعراقية.

ح. المغنيسيوم Mg^{++} : ويعود الدولومايت المنتشر في الصخور الرسوبيّة من اهم مصادر المغنيسيوم، ويلاحظ من الجدول (11) ان قيمته تراوحت من (96.77 - 294) Mg/L، ويعود هذا الأيون من الاملاح المنتشرة في المياه الجوفية في منطقة الدراسة وذلك بسبب قابلية مصادرها على الذوبان في الماء المؤلفة لخزانات المياه الجوفية مثل الصخور الدولوماتية والكلسيتية والجبسيّة.

خ. الكبريتات SO_4^{-2} : تعد من العناصر المهمة للنباتات والحيوانات وذلك لاحتواه على مركبات الحامض الاميني، يتكون آيون الكبريت من اذابة صخور المتبخرات كالانهيدرات والجبس⁽¹⁶⁾، ويلاحظ من الجدول (11) ان قيمة آيون الكبريت تراوحت بين (2074 - 1622) Mg/L وهي قيمة مرتفعة مما يجعلها غير صالحة للشرب حسب المعايير العالمية لمقياس الشرب.

و. الكلوريّات Cl^- : اهم مصادر المتبخرات كالهلايل والسلفات، ويوجد بصورة طبيعية في المياه وللهذا الأيون القابلية العالية للذوبان بالماء، وتظهر مؤشرات هذا الأيون في عينات مياه آبار منطقة الدراسة وكما هو موضح

في الجدول (11)، اذ تراوحت قيمته ما بين (864-601) Mg/L، ويلحظ من الجدول (11) ان مياه ثلات آبار صالحة للاستعمال البشري بحسب الموصفات العالمية والعراقية في ما كانت الآبار البقية ذات تراكيز عالية من الكلوريدات.

4. التقييم الهيدروكيميائي للمياه الجوفية للاستعمال البشري وهي كالتالي:

أ. قامت الدراسة بمقارنة عناصر المجموعة الكيميائية في منطقة الدراسة مع الحدود المقترنة من قبل منظمة الصحة العالمية (W.H.O. 1995) والمواصفات العراقية (I.S.O. 1996) والموضحة في الجدول (12)، بأنها غير صالحة لشرب الإنسان للارتفاع العالمي في بعض تراكيز العناصر الرئيسية من العسرة والأيونات الموجبة والسلبية، بينما يمكن استعمالها للأغراض المنزلية الأخرى.

جدول (12) الموصفات القياسية العالمية والعراقية لمياه الشرب

المواصفات العراقية (I.S.O. 1996)	المواصفات القياسية العالمية (W.H.O. 1995)			الخاصية
	الحد الأعلى	الحد الاعلى	الحد الأدنى	
8.5	8.5	7	PH	
1500	1500	750	EC	
1500	1500	500	T.D.S.	
500	500	250	T.H.	
200	200	75	Ca	
150	150	20	Mg	
400	400	200	SO ₄	
600	600	200	CL	

المصدر: (1) المياه القياسية العالمية لمياه الشرب (W.H.O.)، الدور الرئيسي للمياه، الجلد 2، الموصفات القياسية 2007 . (2) المياه القياسية العراقية لمياه الشرب المرقمة (417)، 2009، ص.1.

ب. قام البحث بمقارنة هذه العناصر مع الموصفات القياسية الخاصة بأغراض شرب المياه التي وضعها (Altoviski) وكما يوضحها الجدول الآتي، اذ تبين ان عينات مياه الآبار في منطقة الدراسة صالحة للاستهلاك الحيواني.

جدول (13) مواصفات المياه لأغراض الاستهلاك الحيواني عن (Altoviski, 1962)

تركيز الأيون	مياه جيدة جدا	مياه جيدة	مياه مسموح بها	مياه يمكن استعمالها	مياه ذات حد أعلى
Ca	350	700	800	900	1000
Mg	150	350	500	600	700
CL	900	2000	3000	4000	6000
الملوحة	3000	5000	7000	10000	15000

54000	7000	4000	3200	1500	T.H.
15000	10000	7000	5000	3000	T.D.S.
6000	4000	3000	2500	1000	SO ₄

المصدر: يحيى عباس حسين، **الينابيع المائية في كبيسة والسماءة واستثماراتها، أطروحة دكتوراه غير منشورة، كلية الآداب، بغداد، 1989، ص 175**.

ت. ومع عمل مقارنة نتائج فحص مياه آبار منطقة الدراسة مع تصنيف (Todd, 1980) لتحمل المحاصيل الزراعية ملوحة الري وكما في الجدول (14) يلاحظ ان مياه الآبار متوسطة الملوحة صالحة لزراعة بعض المحاصيل ومنها الحنطة والشعير وهم المحسولان الرئيسيان المزروعان في منطقة الدراسة.

جدول (14) تصنيف (Todd, 1980) لتحمل المحاصيل الزراعية

أصناف المحاصيل	المحاصيل المقاومة للتراكيز الواطئة من Ms / Cm (EC)	المحاصيل المقاومة للتراكيز المتوسطة من Ms / Cm (EC)	المحاصيل المقاومة للتراكيز العالية من Ms / Cm (EC)
الفواكه	3000 - 0	4000 - 3000	10000 - 4000
الخضر	4000 - 3000	6000 - 4000	12000 - 10000
المحاصيل الحقلية	6000 - 4000	10000 - 6000	16000 - 12000

المصدر: محمد حميد عباس الساعدي، طبيعة الامطار وعلاقتها بخصائص المياه لأماكن ظمر النفايات في منطقة الحلة باستخدام نظم المعلومات الجغرافية، أطروحة دكتوراه غير منشورة، كلية التربية، الجامعة المستنصرية، 2012، ص 110.

ث. ومن الجدول (11) يمكن مقارنة نتائج مياه الآبار مع الموصفات التي اظهرها تصنيف (Altoviski, 1962)، جدول (15) لاستعمال المياه في البناء والإنشاء في كل عناصرها عدا عنصر الكبريت لأنها أعلى نسبياً من الحدود المسموح بها لذا يجب معالجتها كيميائياً قبل استعمالها.

جدول (15) تصنيف (Altoviski, 1962) لاستعمال المياه في البناء والإنشاء

الآيون	الحد المسموح به
Na	1160
Ca	437
Mg	271
CL	2187
SO ₄	1460

المصدر: طارق عبد الحسين، التقييم الهيدرولوجي والهيدروكيميائي للخزان الجوفي لمدينة أربيل / شمال العراق، أطروحة دكتوراه غير منشورة، كلية العلوم، جامعة بغداد، 2006، ص 91.

ج. وعند مقارنة تحليل مياه آبار منطقة الدراسة مع تصنيف (Salvato, 1982) وكما موضح في الجدول (16)، يلاحظ أن قيمة اغلب العناصر في عينات المياه عالية جداً لا تصلح لقيام مثل هذه الصناعات الا اذا تمت معالجتها لأجل الحد من الخسائر الاقتصادية التي تتعرض لها هذه الصناعات.

جدول (16) الحدود المقترنة للمياه المستعملة للأغراض الصناعية حسب مواصفات (Salvato, 1982)

Mg Mg/L	Ca Mg/L	SO ₄	CL	T.H. Mg/L	PH	الصناعات
8.226	5.988	5.205	8.462	310	8.5 - 5.6	التطيب
-	9.980	17.697	14.103	1000	9 - 6	الكيماوية
-	-	5.205	7.052	-	8.5 - 5.6	السمن
6.992	10.978	11.867	45.13	900	9 - 6	النفطية
0.987	0.998	-	5.641	475	9 - 6	الورقية

المصدر: يحيى عباس حسين، *الينابيع المائية في كبيسة والسماءة واستثماراتها، أطروحة دكتوراه غير منشورة، كلية الآداب، بغداد، 1989*، ص 189.

الاستنتاجات

1. تقع منطقة الدراسة حسب التاريخ الجيولوجي والتركيبي لها ضمن نطاقين هما الرصيف القاري المستقر المتمثل بنطاق السلمان ونطاق الرصيف غير المستقر المتمثل بالسهل الرسوبي.
2. تمتاز منطقة الدراسة بقلة تضرسها، اذ تمثل هضبة متدرجة الارتفاع بلغ اعلى ارتفاع لها (30 م) فوق مستوى سطح البحر وادنى ارتفاع لها (5 م) فوق مستوى سطح البحر.
3. يظهر للمناخ الدور الكبير في تطور الشعيب من خلال تأثيره في كمية الجريان السطحي وتغذية المياه الجوفية لخزاناتها.
4. بلغت مساحة الشعيب الكلية (4345.89 كم²)، وتتنوع طبيعة الصخور لمنطقة الدراسة بين الصخور الرملية والدولوماتية والكلسية والجيرية وهذا جعلها عرضة لعمليات الحث، فضلاً عن انها جعلت المنطقة ذات مسامية ونفاذية عالية ساعدت في تغذية المياه الجوفية في موسم تساقط الامطار.
5. بلغ حجم الجريان السطحي السنوي المتوقع وحسب معادلة بيركلي لمنطقة الدراسة (0.033) مليار / م³، وبلغت تغذية المياه الجوفية (0.448) مليار / م³.
6. أظهرت الدراسة ان هناك فائضاً مائياً في شهري كانون الأول وكانون الثاني بلغ مجموعهما (10.232) ملم وتشكل هذه الزيادة نسبة بلغت (14.4%) لمجموع الامطار المتساقطة لمحطة السلمان، بينما كان هناك عجزاً مائياً لبقية شهور السنة.

7. أوضحت الدراسة من خلال التحليل الفيزيائي والكيميائي لعينات مياه الآبار لمنطقة الدراسة ان معدلات PH) بلغت (7.69) و (EC) بلغ (47726.22) MS/Cm (T.D.S.) و (Mg/L 2881.1) و (T.H.) بلغ (Mg/L 472.77) و Ca بلغ (Mg/L 3081.90) و SO₄ بلغ (Mg/L 211.88) و CL بلغ (Mg/L 1723.66) و Mg/L 709.88) وأوضحت هذه التحاليل الى ان هذه المياه غير صالحة لشرب الانسان بينما كانت ملائمة لشرب الحيوانات والري والبناء والانشاءات والصناعة بنسب متباعدة وحسب المواصفات القياسية العالمية والعراقية.

هواش البحث ومصادره :

Buday, T., The Regional Geography of Iraq, stratigraphy and paleogeography, V1, State minerals Baghdad, 1980, p. 14.

جاسب كاظم عبد الحسين الجوهر، الاشكال الأرضية لأحواض الوديان الجافة في منطقة بصبة باستخدام نظم المعلومات الجغرافية، أطروحة دكتوراه غير منشورة، كلية الآداب، جامعة البصرة، 2011، ص18.
مشعل محمود فياض الجميلي، المنخفضات الصحراوية (الخبرات) في منطقة الحمام العراقي وإمكانية استثمارها، المجلة العراقية للدراسات الصحراوية، المجلد 3، العدد 1، 2011، ص76.

نعمان شحادة، المناخ العلمي، مطبعة دار النور، الأردن، 1983، ص72.
(*) معادلة دي مارتون (كافاية الامطار) : $A = R / (T + 10)$ حيث ان A = معامل الجفاف، R = مجموع التساقط المطري السنوي (ملم) ، T = معدل درجة الحرارة السنوي (5م*) ينظر: علي صاحب طالب الموسوي وعبد الحسن مدفون أبو رحيل، علم المناخ التطبيقي، دار الضياء للطباعة، النجف الاشرف، 2011، ص90.

احمد عبد الله حمادي، دور العمليات الجيومورفولوجية في تشكيل المظهر الأرضي لجزيرة سقطرى، أطروحة دكتوراه غير منشورة، كلية التربية (ابن رشد)، 2003، ص125.

دلبي خلف محمود الجبوري، حوض وادي الفض في المنطقة المتموجة من العراق دراسة في الهيدرولوجيا التطبيقية، رسالة ماجستير غير منشورة، كلية التربية، جامعة تكريت، 2005، ص73.

علي حسن موسى، المناخ الحيوي، ط1، مطبعة نينوى للدراسات والنشر، دمشق، 2002، ص28-29.
عادل سعيد الرواوى وقصي عبد الحميد السامرائي، المناخ التطبيقي، مطبعة جامعة بغداد، بغداد، 1990، ص105-109.
المصدر نفسه ، ص109.

Kollka, R. K., and Wolf, A., Estimating actual evaporation forested site = modification to the thorns Waite model 1, southern, Research station. U. S. Department of Agricultural. U. S. A., 1998, P.P. 1–8.

Kauffman, G. J., et, al., Ground water recharge manual, College of Human Services, University of Delaware, 2004, p.p. 1–6.

هاشم محمد صالح ، المياه الجوفية والابار، ط1، مكتبة المجمع العربي للنشر والتوزيع ، عمان ، الأردن ، 2013، ص11.

سعد عجیل مبارک، اساسیات شکل الأرض الجیومورفولوجي، ط1، مطبعة کنوز المعرفة للنشر والتوزيع، الأردن، 2010، ص180-181.

Hem, J. D., Study and interpretation of the chemical characteristics of natural water, USGS water sup, paper 2254, 1985, p. 353.

حسن أبو سمور واحمد الخطيب، جغرافية الموارد المائية، ط1، دار صفاء للطباعة والنشر، عمان، الأردن، 1990، ص167.

محمود عبد الامير سلمان السعدي ، التقييم البيئي للمياه الجوفية في منطقة الرحالية- الانبار، رسالة ماجستير (غ. م)، كلية العلوم ، جامعة الموصل، 2003، ص79.

احمد عبد الله حمادي، دور العمليات الجیومورفولوجیة في تشكیل المظہر الأرضی لجزیرة سقرطی، أطروحة دكتوراه غير منشورة، كلية التربية (ابن رشد)، 2003، ص125.

دلی خلف حمید الجبوري، حوض وادي الغضافي، المنطقة المتموجة في العراق دراسة في الهیدرولوجیا التطبيقیة، رسالة ماجستير غير منشورة، كلية التربية، جامعة تكريت، 2005، ص73.